

공침법으로 제조한 $ZrO_2 - MgO$ 계 분말특성

이형복 · 정윤중 · 김영규 · 이홍립*

명지대학교 무기재료공학과

*연세대학교 요업공학과

(1988년 10월 4일 접수)

Powder Properties of $ZrO_2 - MgO$ System Prepared by Co-precipitation Method

Hyung-Bock Lee, Yun-Joong Chung, Young-Kyu Kim and Hong-Lim Lee*

Dept. of Inorganic Materials Eng., Myongji University

*Dept. of Ceramic Eng., Yonsei University

(Received October 4, 1988)

요약

$ZrOCl_2 \cdot 8H_2O$ 와 $MgCl_2 \cdot 6H_2O$ 를 출발물질로 하여 공침법으로 $ZrO_2 - MgO$ 계 분말을 제조하여 600°C에서 1200°C 까지 하소온도를 변화시켜 그 분말특성을 연구하였다.

그 결과 공침법으로 제조한 $ZrO_2 - MgO$ 계 분말은 MgO 의 함량이 증가할 수록 ZrO_2 의 결정화 온도가 높아졌다. 또한 하소온도의 상승에 따라 입자가 성장함을 보였으며 결정크기에 있어서 1000°C에서 하소한 경우 45nm로 정방정상이 유지되어 MgO 가 안정화에 상당히 좋은 효과를 작용하였다.

ABSTRACT

The properties of the powders of $ZrO_2 - MgO$ system prepared by co-precipitation method using $ZrOCl_2 \cdot 8H_2O$ and $MgCl_2 \cdot 6H_2O$ as starting materials were investigated after calcination from 600°C to 1200°C.

The crystallization temperature of amorphous ZrO_2 was increased as MgO contents increased. The crystallite size of ZrO_2 was increased with increasing calcination temperature. The crystallite size of tetragonal ZrO_2 calcined at 1000°C for 1 hr was about 45 nm, and MgO contributed effectively to promoting stability of tetragonal Zirconia.

I. 서론

지르코니아는 일반적으로 온도변화에 따라 단사정, 정방정, 입방정의 세가지 동질이상을 지나고 있으며 이들간의 상전이중 정방정에서 단사정으로의 전이는 martensite

전이로 알려져 있다.¹⁾ 이 martensite 전이는 급격한 전이 속도와 전이시 3~5% 정도의 부피팽창을 수반하여 상온에서의 지르코니아 사용을 제한하였다. 지르코니아에 MgO ,²⁾ CaO ,³⁾ 그리고 Y_2O_3 ⁴⁾ 등을 첨가 하므로써, 상온에서 안정한 입방정을 형성시켜 Martenite 전이를 억제할

수 있게 되었으며, 첨가제의 양을 조절하고 적절한 열처리 과정을 통해 입방정 결정립내에 경방정이 존재하는 부분 안정화 지르코니아를 제조하므로써 우수한 기계적 특성을 얻을 수 있다.⁵⁻⁷⁾

Garvie¹⁴⁾는 정방정상이 저온에서 안정한 상으로 존재하는 임계 크기를 정방정상이 단사정보다 낮은 표면에너지를 갖는다는 것을 기본으로 설명하였으며, Murase 와 Kato⁸⁾는 정방정 ZrO₂에서 단사정 ZrO₂로의 전이에 있어서 수증기애 의한 영향으로 결정크기가 증가하며, 전이임계크기가 감소한다고 보고하였다. Osendi 와 Moya¹⁰⁾등도 정방정 ZrO₂는 하소온도가 증가함에 따라 결정성장을 수반하여 단사정 ZrO₂로 전이된다고 보고한 바 있다. 그러나 MgO를 첨가한 비정질 수화지르코니아를 열분해 시켜 얻은 준안정상인 정방정 ZrO₂에 대한 분말특성을 보고한 것은 거의 없다.

따라서, 본 연구에서는 지르코니아의 안정화제로 MgO를 첨가하여 공침법에 의해 미립의 지르코니아 분말을 합성하였으며, MgO의 함량과 하소온도를 변화시키면서, 저온에서 준안정상인 정방정상의 양적관계와 상변화, 결정화 온도 및 전이임계 크기 등을 고찰하여 지르코니아의 분말특성에 대하여 연구하였다.

II. 실험방법

II - 2. 분말합성

본 실험에서는 ZrO₂와 MgO의 출발물질로 ZrOCl₂ · 8H₂O(Junsei Co., Chemical Pure)와 MgCl₂ · 6 H₂O(Shinyo Pure Chemicals, Extra Pure)를 사용하였으며, ZrO₂에 첨가된 MgO의 함량은 0, 5, 8, 10, 12, 14, 25 mole%의 조성으로 변화시켰다.

실험과정은 출발물질을 종류수에 용해하여 공통수용액을 만든 다음, 자력교반기를 사용하여 강하게 저어 주면서 25°C에서 NH₄OH(28 wt% NH₃함유)를 buret를 사용하여 10 ml/h의 속도로 적어 시켰으며, 이때 공침물은 pH가 10 이 될때까지 공침시켰다. 이렇게 얻은 공침물을 Cl⁻이온과 NH₄⁺ 이온이 완전히 제거될 때까지 종류수로 세척한 후 세척된 공침물을 무수에탄올에 분산시켜 120°C에서 24시간동안 건조하여 600°C, 800°C, 1000°C 및 1200°C의 온도로 콩기중에서 1시간 동안 하소한 후 로냉하여 분말을 합성하였다.

II - 2. 분말의 특성실험

II - 2 - 1. 시차열 분석

공침법으로 제조한 각 조성의 ZrO₂ - MgO 계 분말을 Shimadzu 사의 DT - 30 시차열 분석기를 사용하여 승온 속도 10°C/min로 1000°C까지 시차열 분석을 행하여 MgO 함량 변화에 따른 결정화 온도를 측정하였다.

II - 2 - 2. X - 선 회절분석

MgO의 첨가량과 하소온도 변화에 따른 상변화와 정방정 ZrO₂와 단사정 ZrO₂의 존재비를 정량적으로 결정하고 결정의 크기를 측정하기 위해 Rigaku 사 회절 분석기를 사용하여 X - 선 회절분석을 하였다. 이때 분석조건은 CuK α , 30 kV, 15 mA으로 행하였다.

여기서 정방정 ZrO₂와 단사정 ZrO₂의 존재비는 Garvie 와 Nicholson¹¹⁾에 의해 보고된 Polymorph method를 사용하였다. (식 1)

$$X_m = \frac{I_m(111) + I_m(11\bar{1})}{I_m(111) + I_m(11\bar{1}) + I_t(111)} \quad (1)$$

여기서, X_m = 단사정 ZrO₂의 분율

I_m(111) : 단사정 ZrO₂의 (111)면의 회절강도

I_m(11̄1) : 단사정 ZrO₂의 (11̄1)면의 회절강도

I_t(111) : 정방정 ZrO₂의 (111)면의 회절강도

정방정 ZrO₂와 단사정 ZrO₂의 결정크기(L_T와 L_M)는 각각 정방정 ZrO₂의 (111)면의 회절강도와 단사정 ZrO₂의 (11̄1)면의 회절강도를 사용하여 Scherrer¹²⁾의 다음 식으로 계산하였다.

$$T = 0.9 \lambda / \beta \cos\theta \quad \dots \dots \dots \quad (2)$$

여기서, T : 결정크기

λ : 복사파 파장(CuK α)

β : 회절 피이크에서의 반가폭

θ : 회절 피이크 각도

II - 2 - 3. 미세구조의 관찰

제조된 분말과 하소 이후의 입자상태 및 입자크기를 관찰하기 위하여 Mitachi mode의 TEM을 사용하여 미세구조를 관찰하였다.

II - 2 - 4. 비표면적 측정

하소전후의 비표면적을 비교하기 위하여 Glas 사 Laser - Glanlumomtre - 715 비표면적 분석기를 사용하였다.

III. 결과 및 고찰

공침법으로 제조한 ZrO_2 -MgO계 분말의 시차열 분석 결과 MgO의 함량변화에 따른 ZrO_2 의 결정화 온도를 나타낸 것이 Fig. 1이다. Fig. 1에서 알 수 있는 바와같이 MgO가 첨가되지 않은 순수한 ZrO_2 에서는 420°C부근에서¹⁰⁾ 결정화가 일어나며 MgO의 함량이 증가함에 따라 ZrO_2 의 결정화 온도가 점차 증가되어 25 mole%의 MgO가 첨가된 경우에는 560°C정도에서 결정화가 일어나 순수한 ZrO_2 와는 많은 결정화 온도 차이가 있는 것을 볼 수 있다. 이는 MgO가 ZrO_2 와 고용체를¹³⁾ 형성할때 MgO의 함량이 증가함에 따라 MgO가 ZrO_2 에 고용되기 위해서 많은 에너지가 필요하기 때문이라고 생각된다.

ZrO_2 -MgO계 분말의 하소 전후의 비표면적 값을 Table 1에 나타내었다. Table 1은 비정질 분말과 800°C에서 1시간 동안 하소한 분말에 대한 BET 결과로 8 mole%와 14 mole%의 MgO가 첨가된 경우인데 비정질 상태에서는 157과 193 m^2/g 정도의 비표면적 값을 갖는데 하소된 후에는 14에서 19 m^2/g 으로 비표면적 값이 급격

Table 1. BET Result of Amorphous Powders and Powders Calcined at 800°C for 1 hr.

Composition	Amorphous	Calcined	(m^2/g)
92 ZrO_2 -8 MgO	157.4	14.4	
86 ZrO_2 -14 MgO	193.2	19.4	

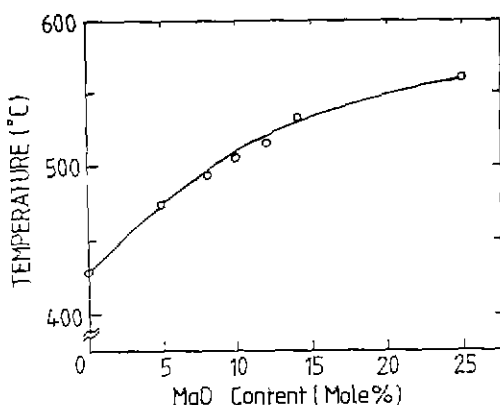


Fig. 1. Crystallization temperature of ZrO_2 -MgO systems by DTA analysis on various MgO content.

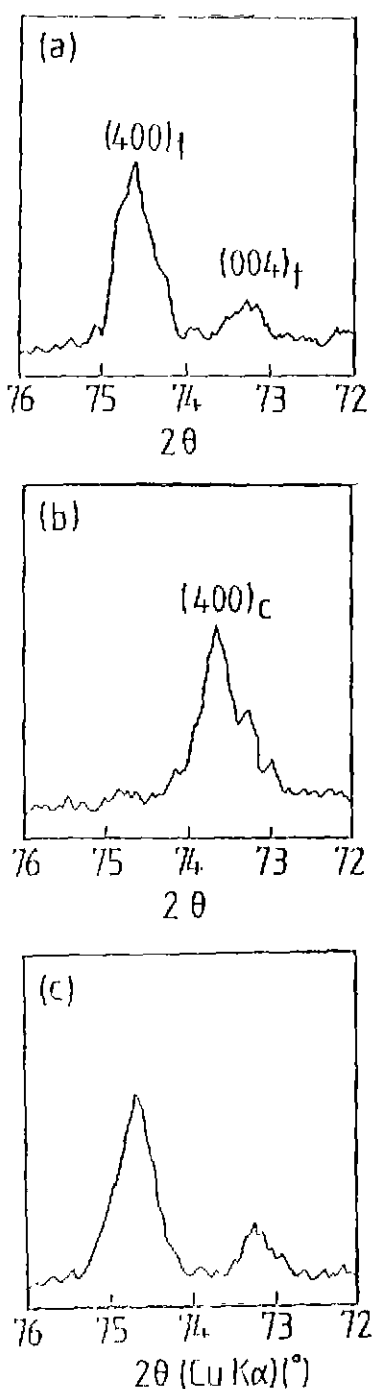


Fig. 2. X-ray diffraction patterns of cubic ZrO_2 and tetragonal ZrO_2 .

- (a) tetragonal ZrO_2 (97 ZrO_2 - 3 Y_2O_3)
- (b) cubic ZrO_2 (90 ZrO_2 - 10 Y_2O_3)
- (c) ZrO_2 -MgO powder Calcined at 1000°C for 1 hr.

히 떨어짐을 볼 수 있다. 이것은 열처리 함에 따라 입자가 성장하였음을 보여주는 것이다.

X-선 회절분석에서 입방정 ZrO_2 와 정방정 ZrO_2 의 주 피이크가 서로 겹치기 때문에 이를 확인하기 위해 2θ 값이 $72^\circ \sim 76^\circ$ 사이의 피이크로 이 두상을 구별하는 방법을 사용하였으며 이를 Fig.2에 나타내었다. Fig.2에서 (a)는 3 mole%의 Y_2O_3 가 첨가된 정방정 ZrO_2 이고 (b)는 10 mole%의 Y_2O_3 가 첨가된 입방정 ZrO_2 이다. (c)번은 본 실험의 모든 조성의 시료를 1000°C에서 1시간동안 하소한 분말의 회절도를 나타낸 것이다. 이 결과로 볼 때 (a)와 (c)가 같은 경향을 나타내는 것을 볼 수 있다. 따라서 본 연구에서 실험한 분말들은 정방정 ZrO_2 임을 알 수 있다.

ZrO_2 -MgO계 분말의 각각의 조성과 하소온도 변화에 따른 X-선 회절분석 결과를 Fig.3, Fig.4, Fig.5 그리-

고 Fig.6에 나타내었다. 여기에서 Fig.3은 MgO가 첨가되지 않은 순수한 ZrO_2 의 X-선 회절분석 결과를 하소온도 변화에 따라 나타낸 그림이다. 그림을 보면 600°C에서 하소한 시료에서 정방정 ZrO_2 와 단사정 ZrO_2 가 공존하고 있으며, 하소온도가 올라감에 따라 단사정 ZrO_2 의 양이 점차 증가하여 1200°C로 하소한 시료에서는 거의 100%의 단사정 ZrO_2 가 존재함을 보이고 있다. 이와같이 순수한 ZrO_2 에서 600°C, 800°C의 온도로 하소한 이후에도 정방정 ZrO_2 가 존재하는 것은 입자크기가 Garvie¹⁰가 지적한 임계입자크기 (≈ 30 nm) 이하로 존재하여 정방정상이 존재하는 것으로 하소온도가 증가함에 따라 입자가 임계크기 이상으로 성장하여 단사정 ZrO_2 로 전이가 되는 것이다.⁹⁾

Fig.4의 (a)는 5 mole%의 MgO가 첨가된 ZrO_2 의 하소온도 변화에 따른 X-선 회절피이크로 이 경우에는 600°C, 800°C에서 거의 100%의 정방정 ZrO_2 가 존재하는 것을 볼 수 있으며 1000°C에서 약간의 단사정상이 나타나며 1200°C에서는 모두 단사정 ZrO_2 로 전이 되었다. 이와같이 MgO가 첨가됨에 따라 순수한 ZrO_2 에서와는 달리 정방정 ZrO_2 가 1000°C까지 많은 양이 유지 되었다. 이것은 MgO가 정방정 ZrO_2 에서 단사정 ZrO_2 로의 상전이를 억제한 것으로 생각된다. (b)는 8 mole%의 MgO가 첨가된 ZrO_2 의 X-선 회절 분석 결과로 (a)와 거의 같은 경-

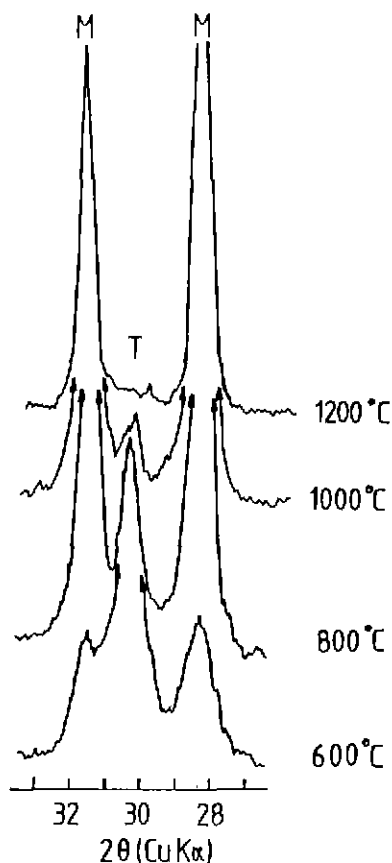


Fig.3. X-ray diffraction patterns of powders calcined at various temperature for 1 hr. (100 ZrO_2 - 0 MgO)

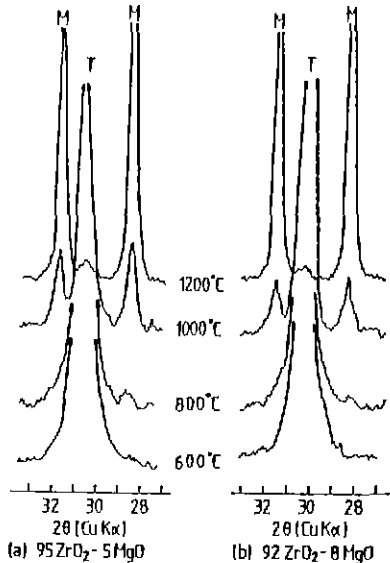


Fig.4. X-ray diffraction patterns of powders calcined at various temperature for 1 hr. (a) 95 ZrO_2 - 5 MgO, (b) 92 ZrO_2 - 8 MgO

향을 나타내고 있다. 즉, 온도가 증가함에 따라 단사정 ZrO_2 가 증가하여 1200°C에서는 거의 100%의 단사정 ZrO_2 로 전이 되었다.

그리고, 10 mole%의 MgO가 첨가된 ZrO_2 의 회절도인 Fig.5의 (a)에서 보면 1000°C까지 거의 정방정 ZrO_2 를

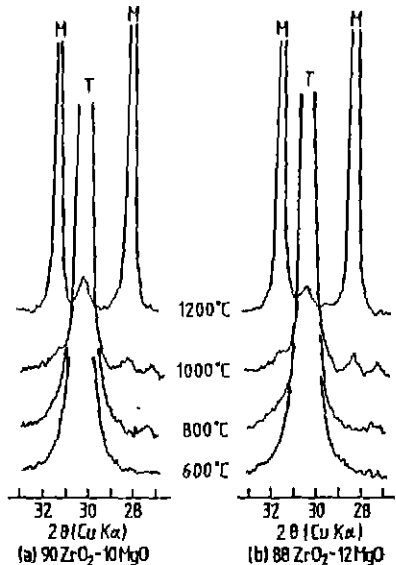


Fig.5. X-ray diffraction patterns of powders calcined at various temperature for 1 hr

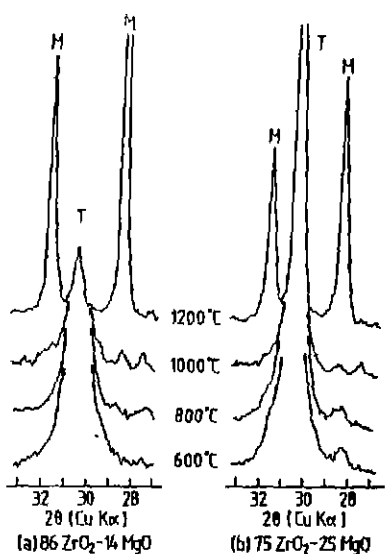


Fig.6. X-ray diffraction patterns of powders calcined at various temperature for 1 hr.

유지하다가 1200°C에서 급격히 단사정 ZrO_2 로 상전이됨을 보여주고 있다. 또한 12 mole%의 MgO가 첨가된 경우에도 역시 10 mole%의 MgO가 첨가된 경우와 마찬가지로 1200°C의 온도에서 급격한 상전이가 일어났다.

14 mole%의 MgO가 첨가된 경우와 25 mole%의 MgO가 첨가된 ZrO_2 분말의 하소온도 변화에 따른 X-선 회절 분석 결과를 Fig.6에 나타내었다. 이때에는 1000°C까지 정방정상을 유지하다가 1200°C에서도 역시 단사정 ZrO_2 로 상전이가 일어났는데 Fig.5의 (a)나 (b)의 경우와는 달리 1200°C에서도 정방정 ZrO_2 가 존재하는 것을 보여주고 있다. 특히 25 mole%의 MgO가 첨가된 경우에는 1200°C에서도 많은 양의 정방정상이 존재하고 있는 것을 볼 수 있다.

Fig.7은 Fig.3에서 Fig.6의 X-선 회절분석 결과를 조성변화와 하소온도변화에 따른 정방정 ZrO_2 와 단사정 ZrO_2 의 정량적인 상대비로 종합하여 나타낸 것이다. 그림에서 보면 600°C에서 1000°C까지는 거의 정방정상이 존재하다가 1200°C로 온도가 올라감에 따라 정방정 ZrO_2 에서 단사정 ZrO_2 로의 급격한 상변화가 일어난다는 것을 알 수가 있다. 단지 순수한 ZrO_2 의 경우는 그 상변화가 서서히 일어나고 있으며 14 mole%와 25 mole%의 MgO가 첨가된 경우 1200°C에서 상당량의 정방정 ZrO_2 가 존재하여 25 mole%의 경우 거의 40% 정도의 정방정 ZrO_2 가 존재하고 있다. 이와같은 결과로 볼때 MgO가 정방정 ZrO_2 가 단사정 ZrO_2 로 전이되는 것을 억제하고 있으며 MgO의

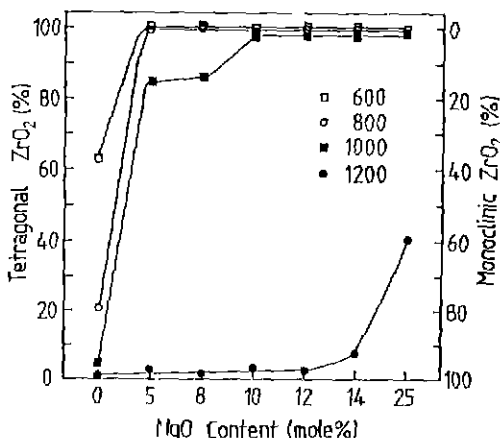


Fig.7. MgO content vs. ratio of tetragonal to monoclinic at ZrO_2 -MgO powders calcined at various temperature for 1 hr.

양이 증가할 수록 그 전이의 양도 줄어들을 알 수 있다.

Fig. 8은 ZrO_2 - MgO 계 분말의 결정크기를 식(2)를 사용하여 MgO 의 mole%와 하소온도에 따라 나타내고 있다. Fig. 8에서 보는 바와같이 600°C에서는 거의 20 nm의 크기를 유지하다가 1000°C에서는 ≈ 45 nm 까지 입자가 성장함을 보여주고 있으며 MgO 의 첨가량에 따른 결정크기의 차이는 별로 나타나지 않았다. MgO 가 첨가된 경우 800°C나 1000°C에서 정방정 ZrO_2 에서 단사정 ZrO_2 로의

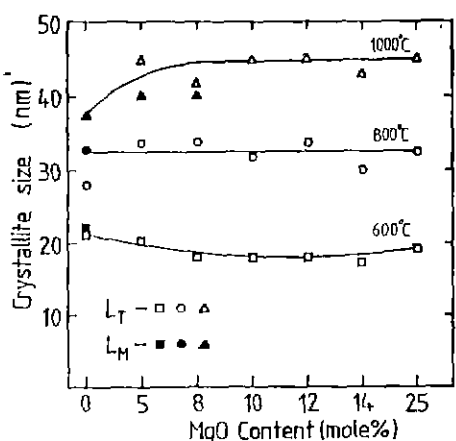


Fig. 8. Crystallite size of tetragonal (L_T) and monoclinic (L_M) phases in powders calcined at various temperature for 1 hr.

상전이 임계입자 크기인 30 nm 보다 큰 34~45 nm 의 입자 크기에도 정방정 ZrO_2 가 유지되고 있음을 보여준다. 이것은 MgO 첨가로 인한 결과로 생각되며 MgO 의 함량이 증가됨에 따라서 정방정 ZrO_2 의 안정성이 커진다는 것을 알 수 있다. Fig. 9는 ZrO_2 (8 mole% MgO)분말의 TEM 사진으로 (a)는 공침법에 의해 얻어진 비정질 분말이며 (b)는 800°C에서 1시간 하소한 분말이다. 이 그림에서 비정질 분말은 매우 미세한 1차 입자들의 응집체로 이루어져 있으며 800°C로 하소한 경우 분말의 입자크기가 약 30 nm 정도임을 볼 수 있는데 이는 Fig. 8의 X-선 회절강도로부터 구한 입자크기와 거의 일치함을 보여준다.

한편, 정방정 ZrO_2 의 외부응력에 의한 영향을 Fig. 10에 나타내었다. 그림에서 (a)는 12 mole%의 MgO 가 첨가된 ZrO_2 분말로 800°C에서 1시간 하소된 경우이고 (b)는 14 mole%의 MgO 가 첨가된 분말로 1000°C에서 하소된 경우이다. Fig. 10에서와 같이 분쇄이후 정방정 ZrO_2 가 단사정 ZrO_2 로 전이 되었음을 알 수 있다. 그런데 800°C에서 하소된 경우보다 1000°C에서 열처리 된 분말이 분쇄 이후에 X-선 회절 페이크상으로 보다 많이 전이됨을 볼 수 있다. 이것은 800°C에서 보다 1000°C에서 입자가 많이 성장하여 그 입자성장이 외부응력으로 인하여 정방정 ZrO_2 에서 단사정 ZrO_2 로 전이를 많이 일으키게 한 원인이라고 생각된다.

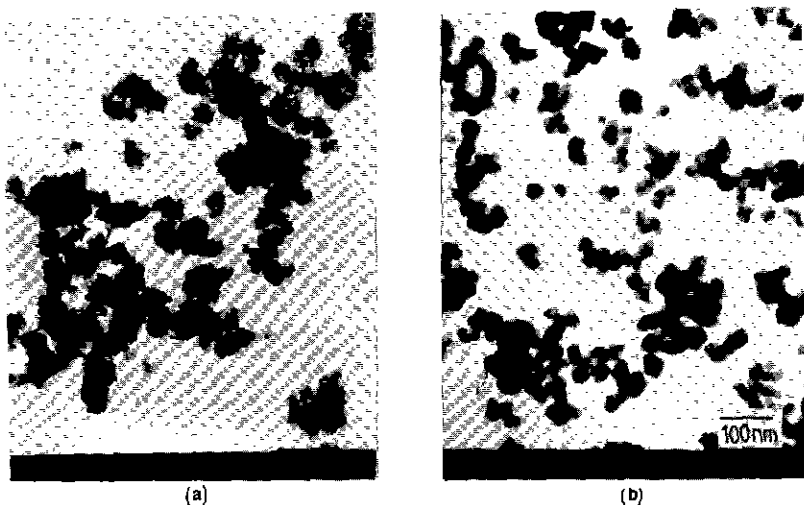


Fig. 9. TEM photographs of 92 ZrO_2 - 8 MgO powder prepared by co-precipitation method
(a) Amorphous (b) Calcined at 800°C for 1 hr.

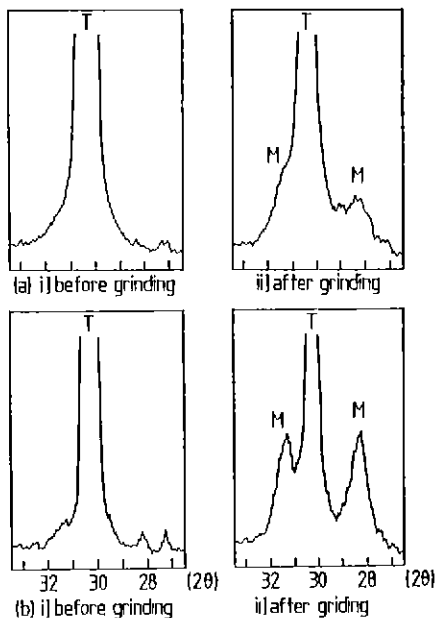


Fig. 10. Effect of grinding on tetragonal to monoclinic phase transformation in (a) 88 ZrO_2 - 12 MgO (800°C , 1 hr) and (b) 86 ZrO_2 - 14 MgO (1000°C , 1 hr).

IV. 결 론

공침법으로 제조한 ZrO_2 -MgO 체의 분말특성에 대하여 다음과 같은 결론을 얻었다.

1. 공침법으로 제조한 ZrO_2 -MgO 체 분말의 경우 MgO의 함량이 증가할 수록 결정화 온도는 증가하였다.
2. ZrO_2 에 MgO를 첨가함에 따라 1000°C 까지 거의 100%의 정방정 ZrO_2 상을 얻을 수 있었다.
3. ZrO_2 -MgO 체 분말의 BET, X-선 회절분석 결과 하소온도가 증가함에 따라 입자가 성장함을 보였다.
4. MgO의 첨가로 인하여 $\approx 45\text{ nm}$ 의 크기에서도 정방정 ZrO_2 상이 존재하였다.

REFERENCE

1. C.M. Wayman, "Martensite Transformation", in Advanced in Ceramics, Vol. 3, "Science and Technology of Zirconia", *The Am. Ceram. Soc. Inc.*, 64 - 81 (1981).
2. M. V. Swain et al, "Influence of Thermal Decomposition on the Mechanical Properties of Magnesia-Stabilized Cubic Zirconia", *J. Am. Ceram. Soc.*, 66 (5) 358 - 362 (1983).
3. R. C. Garvie et al, "Structure and Thermomechanical Properties of Partially Stabilized ZrO_2 in the CaO-ZrO₂ System", *ibid*, 55(3) 152 - 157 (1972).
4. M. Ruhle et al, "Microstructure Studies of Y_2O_3 -Containing Tetragonal ZrO_2 Polycrystals (Y-PSZ)", in Advanced in Ceramics, Vol. 12, The Am. Ceram. Soc., Inc, 352 - 370 (1983).
5. R. C. Garvie et al., "Ceramic Steel", *Nature* 258, 703 - 704 (1975).
6. D. L. Porter et al, "Transformation-Toughening in Partially Stabilized Zirconia", *Acta Metallurgica*, 27, 1649 - 1654 (1973).
7. Nils Claussen et al, "Effect of Induced Microcracking on the Fracture Toughness of Ceramics", *Ceram. Bull.*, 56(6) 559 - 562 (1977).
8. Y. Murase and E. Kato, "Role of Water Vapor in Crystallite Growth and Tetragonal-Monoclinic Phase Transformation of ZrO_2 ", *ibid*, 66(3) 196 - 200 (1983).
9. T. Mitsuhashi et al., "Characterization and Stabilization of Metastable Tetragonal ZrO_2 ", *ibid*, 57(2) 97 - 101 (1974).
10. M. I. Osendi et al., "Metastability of Tetragonal Zirconia Powders", *ibid*, 68(3) 135 - 139 (1985).
11. R. C. Garvie and P. S. Nicholson, "Phase Analysis in Zirconia System", *ibid*, 55(6) 303 - 305 (1972).
12. H. P. Klug and L. E. Alexander, X-Ray Diffraction Procedures, Chap. 9, John Wiley & Sons, New York, 1954.
13. C. F. Grain, "Phase Relations in the ZrO_2 -MgO System", *ibid*, 50(6) 288 - 290 (1967).
14. R. C. Garvie, "The Occurrence of Metastable Tetragonal Zirconia as a Crystallite Size Effect", *J. Phys. Chem.*, 69(4) 1238 - 43 (1965).